

Л.М.Молодкина, Е.В.Голикова, Ю.В.Дудкина, Р.С.Бареева  
 **$\gamma$ -Al<sub>2</sub>O<sub>3</sub> наноұнтақ негізінде жасалған зольдің коллоидты-химиялық сипаттамалары**

NaCl ерітіндісінде  $\gamma$ -Al<sub>2</sub>O<sub>3</sub> электрбеттік және агрегатты тұрақтылығы зерттелінген. Зольдің оптикалық сипаттамалары – толқынды экспонент және бөлшектердің салыстырмалы шашырау коэффициенті анықталды. Зольдің коагуляциясы тосқауылсыз механизм бойынша бөлшектердің арасында үлкен қашықтарда дисперсиондың күштерінің құрылымды тебілу күштерінен басым болған жағдайда пайда болатын потенциалдық минимумда жүретін тұралы қорытынды жасалынды.

**Кіттік сөздер:** наноұнтақтар, синтез, бөлшектердің агрегаттары, тұрақтылық, зольдердің коллоидтық химиялық қасиеттері.

I.M.Molodkina, E.V.Golikova, Yu.V Dudkina, R.C.Bareeva

**The colloidal and chemical characteristics of sol, prepared on the basis of the nanopowder  $\gamma$ -Al<sub>2</sub>O<sub>3</sub>**

Electrosurface properties and aggregate stability of  $\gamma$ -Al<sub>2</sub>O<sub>3</sub> sol in NaCl solutions are investigated. The optical characteristics of sol – a wave exponent and relative coefficient of light dispersion of particles are defined. The conclusion has done that coagulation of sol  $\gamma$ -Al<sub>2</sub>O<sub>3</sub> proceeds mainly on barrierless mechanism in the distant potential minimum resulting from predominance of structural forces of repulsion on dispersion forces of an attraction.

**Keywords:** nanopowders, synthesis, particle aggregate, stability, colloidal chemical properties of sols.

УДК 544.576

<sup>1</sup>Н.А.Новикова, <sup>1</sup>Е.В.Голикова, <sup>2</sup>Ю.М.Чернобережский

Санкт-Петербургский государственный технологический университет растительных полимеров,  
Россия, г. Санкт-Петербург

Санкт-Петербургский государственный университет, Россия, г. Санкт-Петербург  
E-mail:[golikova2319@rambler.ru](mailto:golikova2319@rambler.ru)

**Роль структурной компоненты энергии взаимодействия частиц в устойчивости  
монодисперсного золя кремнезема в растворах NaCl**

Методом поточной ультрамикроскопии исследована кинетика агрегации монодисперсного золя кремнезема (с размером 250 нм) в водных растворах NaCl при pH 2.0; 3.0; 6.2 и 9.0 и 10.2. Медленная коагуляция частиц монодисперсного золя кремнезема (2a=250 нм) в растворах NaCl ( $C \geq 0.05 M$ ) при происходит преимущественно в дальнем потенциальному минимуме, обусловленным преобладанием сил дисперсионного притяжения над силами структурного отталкивания на относительно больших расстояниях между частицами (>10 нм).

**Ключевые слова:** кинетика агрегации, обратимая агрегация, поточная ультрамикроскопия, монодисперсный золь кремнезема.

**Введение**

В последнее время все большее внимание исследователей привлекают высокодисперсные порошки, в том числе полученные методами гидролиза в пламени и плазмохимического синтеза. Наиболее широко применяются аэросилы, которые используются в качестве наполнителей, связующих или исходных материалов для получения кварцевого стекла или стекловидных пленок низкотемпературным золь-гель методом. Следует отметить также, что золи и суспензии аэросилов благодаря высокой степени химической чистоты, узкому распределению частиц по размерам, их сферичности, могут служить модельными системами, в частности, для изучения электроповерхностных свойств частиц, агрегативной устойчивости золей, и взаимосвязи этих свойств с физико-химическими и механическими характеристиками приготовленных на их основе дисперсий. В настоящей работе исследована агрегативная устойчивость водной дисперсии кремнезема в зависимости от концентрации индифферентного электролита NaCl и pH. Задачей исследования было установление основных факторов, определяющих устойчивость дисперсий, и оценка возможности количественного описания свойств дисперсий с точки зрения современной теории устойчивости

коллоидов с целью возможного прогнозирования поведения частиц  $\text{SiO}_2$  в процессах золь-гель синтеза кварцевого стекла и высококремнеземистых материалов.

### Результаты и их обсуждение

Изучение агрегативной устойчивости и коагуляции золя  $\text{SiO}_2$  проводили методом поточной ультрамикроскопии. Были получены зависимости численной концентрации частиц  $n$  от времени наблюдения. Исходная концентрация частиц в золях  $n_0$  составляла  $\approx 10^7 \text{ см}^{-3}$ . Максимальная погрешность измерений не превышала 10%. Температура опытов составляла  $20 \pm 1^\circ\text{C}$ . За нулевую точку принимался момент времени добавления электролита в систему с заданным значением pH.

Для выяснения характера наблюдаемой устойчивости и коагуляции золя  $\text{SiO}_2$  были проведены расчеты энергии парного взаимодействия частиц  $\text{SiO}_2$  по классической и обобщенной (с учетом структурной составляющей) теории устойчивости коллоидов Дерягина–Ландау–Фервея–Овербека.

В работе исследовали гидрозоль  $\text{SiO}_2$ , полученный из порошка монодисперсного аморфного кремнезема фирмы «Merk» «Monospher 250» со сферической формой частиц диаметром  $2a = 250$  нм. Агрегативную устойчивость золя  $\text{SiO}_2$  изучали в широком интервале pH (2.0–10.2) в отсутствие электролита и в растворах  $\text{NaCl}$  с концентрацией  $5 \cdot 10^{-2}$ , 0,15 и 1М. Предварительная ультразвуковая обработка золя проводилась в течение 15 мин. Результаты исследования кинетики коагуляции золя при pH 6.2 приведены на рисунке 1 в виде зависимостей обратной численной концентрации частиц ( $1/n$ ) от времени наблюдения. В отсутствие электролита величина ( $1/n$ ) оставалась неизменной в течение всего периода наблюдения, что свидетельствует об агрегативной устойчивости золя (прямая 1). Аналогичная картина наблюдалась при добавлении  $\text{NaCl}$  до концентрации  $5 \cdot 10^{-2}\text{M}$ . Дальнейшее увеличение концентрации  $\text{NaCl}$  до 0,15М привело к возрастанию величины  $1/n$  во времени, что свидетельствовало о протекании в золе процесса коагуляции. Зависимость изменения величин ( $1/n$ ) во времени, рассчитанная по теории быстрой коагуляции Смолуховского, представлена на рисунке 1 пунктирной прямой. Очевидно, что наблюданная в 0,15М растворе  $\text{NaCl}$  коагуляция протекает со скоростью меньшей, чем скорость быстрой коагуляции (по Смолуховскому).

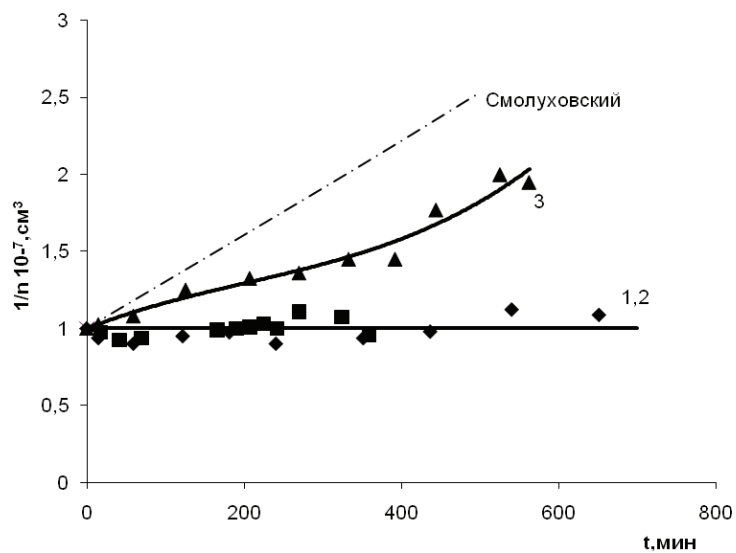


Рисунок 1 – Зависимости обратной численной концентрации частиц  $\text{SiO}_2$  от времени наблюдения при pH 6.2 в растворах  $\text{NaCl}$  (М): 1 – 0; 2 – 0,05; 3 – 0,15. Пунктирная линия соответствует протеканию быстрой коагуляции по Смолуховскому

Для выяснения характера наблюдаемой устойчивости и коагуляции золя  $\text{SiO}_2$  были проведены расчеты энергии парного взаимодействия частиц кремнезоля по классической теории [1,2] и обобщенной теории ДЛФО [3,4]. В первом случае расчет проводили с использованием формулы (1), во втором – формулы (2).

$$V = V_i + V_m , \quad (1)$$

$$V = V_i + V_m + V_s , \quad (2)$$

где  $V_i$ ,  $V_m$  и  $V_s$  – ионно-электростатическая, дисперсионная и структурная составляющие энергии взаимодействия частиц, соответственно. Первая из них характеризует отталкивание ДЭС, вторая – молекулярное (дисперсионное) притяжение частиц, третья – отталкивание граничных слоев (ГС) воды, окружающих частицы кремнезема.

Энергию ионно-электростатического взаимодействия одинаковых частиц при условии постоянства потенциала рассчитывали для симметричного электролита по формуле Ошима, Хили и Уайта [5]. При расчете ионно-электростатического взаимодействия использовали измеренные величины электрохимического потенциала ( $\zeta$  - потенциала). Расчет молекулярной составляющей проводили согласно микроскопической теории с учетом запаздывания дисперсионных сил [6,7].

Структурную составляющую энергии взаимодействия частиц, возникающую при перекрытии граничных слоев у поверхности сферических частиц, рассчитывали, согласно [3, 4, 8], по формуле:

$$V_s = \pi a K l^2 \exp\left(-\frac{h}{l}\right), \quad (3)$$

здесь  $K$  – параметр интенсивности,  $l$  – длина корреляции,  $a$  – радиус частиц,  $h$  – межчастичное расстояние.

Полученные экспериментальные данные не могут быть объяснены без учета структурной составляющей, поскольку в этом случае уже при концентрации  $C_{\text{NaCl}}=5 \cdot 10^{-2} \text{M}$  барьер отталкивания на суммарных кривых энергии парного взаимодействия частиц отсутствует (рисунок 2), и, следовательно, в системе должна протекать быстрая коагуляция.

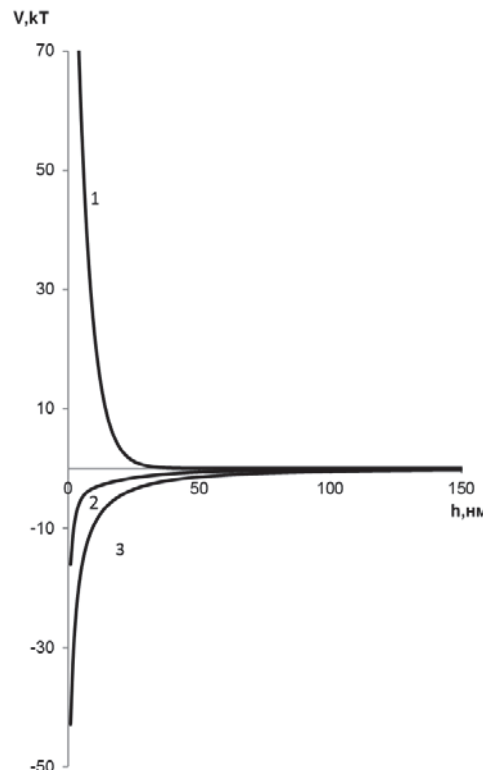
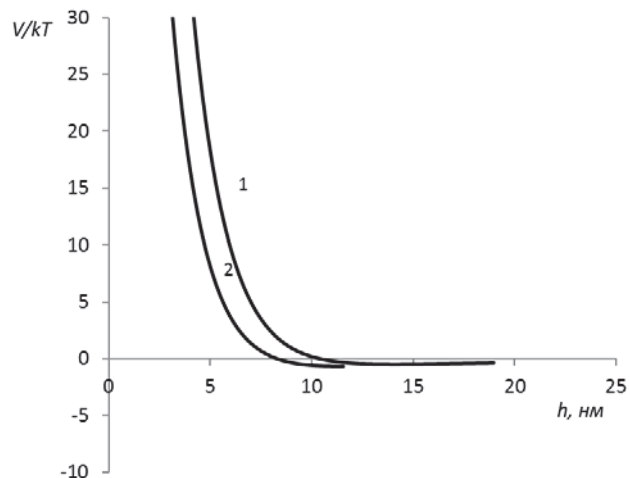


Рисунок 2 – Зависимости энергии парного взаимодействия частиц  $\text{SiO}_2$  от расстояния в растворах  $\text{NaCl}$  (М): 1 – 0; 2 – 0.05; 3 – 0.15 при  $\text{pH} = 6.2$ , рассчитанные по классической теории ДЛФО

В общем случае, на расчетных зависимостях  $V(h)$ , полученных с использованием уравнения (3), можно выделить два энергетических минимума (глубокий первичный, расположенный на

относительно малых расстояниях между частицами и неглубокий вторичный, расположенный на дальних расстояниях между частицами), разделенных барьером, который обусловлен взаимодействием ДЭС и (или) ГС частиц. Значения высот барьера отталкивания и глубин дальнего (вторичного) минимума использовались для расчета факторов устойчивости при коагуляции по барьерному и безбарьерному механизмам коагуляции. В последнем случае при коагуляции происходит фиксация частиц через прослойки дисперсионной среды, толщина которых определяется координатой дальнего потенциального минимума. Сопоставление экспериментальных и теоретических факторов устойчивости позволило найти области параметров структурной компоненты  $V_s$  для различных значений pH и концентраций NaCl. На рисунке 3 приведены зависимости энергии взаимодействия частиц SiO<sub>2</sub> от расстояния при pH = 6.2 с использованием установленных значений параметров  $K$  и  $l$ .

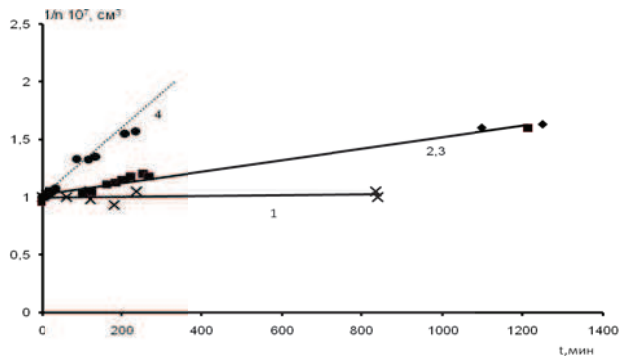


$$K = 1 \cdot 10^6 \text{ Дж/м}^3, l = 1,8 \text{ нм для } C_{\text{NaCl}} = 0,05 \text{ М и } K = 1 \cdot 10^6 \text{ Дж/м}^3, l = 1,6 \text{ нм при } C_{\text{NaCl}} = 0,15 \text{ М}$$

Рисунок 3 – Зависимость энергии парного взаимодействия частиц SiO<sub>2</sub> от расстояния при pH = 6.2 в растворах NaCl (М): 1–0,05; 1–0,15, рассчитанные по обобщенной теории ДЛФО

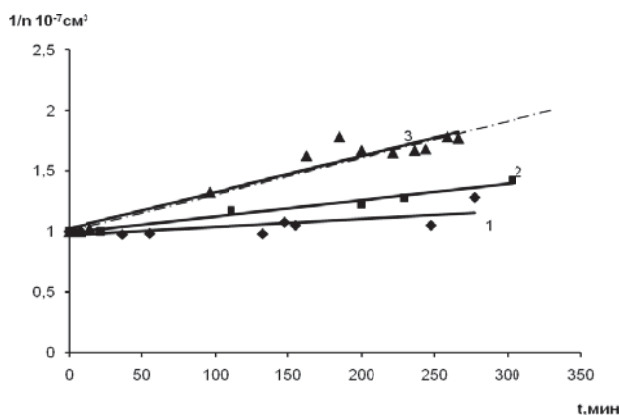
Наблюдаемую при pH 6.2 в растворах NaCl ( $C_{\text{NaCl}} \geq 0,05 \text{ M}$ ) медленную коагуляцию золя SiO<sub>2</sub> можно объяснить существованием потенциальных минимумов, составляющих доли  $kT$  и образующихся в результате преобладания на дальних расстояниях ( $>10 \text{ нм}$ ) дисперсионных сил притяжения над структурными силами отталкивания. Золь SiO<sub>2</sub> при pH 9.0 агрегативно устойчив в отсутствие NaCl и очень медленно коагулирует в 0.15M растворе NaCl, тогда как, согласно расчетам по классической теории ДЛФО, в этом случае должен происходить процесс быстрой коагуляции в ближнем потенциальном минимуме. Константа скорости коагуляции золя  $K_{\text{нач}}$  почти на порядок ниже  $K_{\text{теор}}$  для быстрой коагуляции. Наблюданное несоответствие, так же как и для pH 6.2 может быть объяснено проявлением дополнительных сил отталкивания неэлектростатической природы (“non DLVO forces”). Пренебрегая фактом незначительного растворения кремнезема при pH 9.0 и проводя расчеты, аналогичные описанным выше, можно оценить протяженность ГС, которые обусловливают наблюдаемую малую скорость коагуляции (фактор устойчивости составляет  $W \approx 10$ ). В этом случае из сопоставления экспериментальных и расчетных данных следует, что при pH 9.0 ГС воды у поверхности частиц SiO<sub>2</sub> более протяженные, чем в нейтральной среде.

Результаты исследования кинетики коагуляции золя SiO<sub>2</sub> при pH 3.0 и 2.0 приведены на рисунке 4. Неизменность концентрации частиц золя SiO<sub>2</sub> (в пределах погрешности эксперимента) при pH 3.0 и  $C_{\text{NaCl}} = 0$  в течение времени наблюдения (840 минут) (рисунок 4, прямая 1) может быть обусловлена фактором устойчивости золя, не меньшем, чем  $W = 35$ , в противном случае зависимость 1 была бы уже не прямой линией. Можно показать, что в этом случае стабилизирующими факторами устойчивости являются как ионно-электростатический, так и структурный факторы.



Пунктирная линия соответствует протеканию быстрой коагуляции по Смолуховскому  
Рисунок 4 – Зависимости обратной численной концентрации частиц  $\text{SiO}_2$  от времени наблюдения в растворах  $\text{NaCl}$  (M): 1 – 0; 2 – 0.05; 3 – 0.15; 4 – 1.0 при  $\text{pH} 3.0$ .

При добавлении  $\text{NaCl}$  (0.05M) начальная скорость коагуляции возрастает, фактор устойчивости составляет  $W=5.5\pm 0.5$ . И в этом случае наблюдаемую медленную коагуляцию можно объяснить протеканием коагуляции в дальнем потенциальном минимуме, возникающем в результате преобладания над структурными силами отталкивания сил дисперсионного притяжения. При увеличении концентрации  $\text{NaCl}$  до 0,15M наблюдаемая скорость коагуляции практически не меняется. Неизменным, по-видимому, остается и механизм коагуляции (безбарьерная агрегация на относительно дальних расстояниях между частицами). Кинетика агрегации при  $\text{pH} 2.0$  и концентрациях электролита  $C_{\text{NaCl}}=0,05$  также обусловлена дальним потенциальным минимумом.



Пунктирная линия соответствует протеканию скорости быстрой коагуляции по Смолуховскому  
Рисунок 5 – Зависимости обратной численной концентрации частиц  $\text{SiO}_2$  от времени наблюдения в растворах  $\text{NaCl}$  (M): 1 – 0; 2 – 0,05; 3 – 0,15 при  $\text{pH} = 2.0$ .

Оценка параметров структурной составляющей энергии взаимодействия частиц на основе сопоставления расчетных и экспериментально установленных факторов устойчивости показала, что вклад структурной составляющей в устойчивость золей в значительной степени зависит от  $\text{pH}$  и изменяется с ростом  $\text{pH}$  немонотонно.

### Заключение

Методом поточной ультрамикроскопии исследована кинетика агрегации монодисперсного золя кремнезема (с размером 250 нм) в водных растворах  $\text{NaCl}$  при  $\text{pH}$  2.0; 3.0; 6.2 и 10.2. Медленная коагуляция частиц монодисперсного золя кремнезема ( $2a=250$  нм) в растворах  $\text{NaCl}$

( $C \geq 0.05$  M) при происходит преимущественно в дальнем потенциальном минимуме, обусловленным преобладанием сил дисперсионного притяжения над силами структурного отталкивания на относительно больших расстояниях между частицами ( $>10$  нм).

## Литература

- 1 Дерягин Б.В., Ландау Л.Д. Теория устойчивости сильно заряженных лиофобных золей и слипания сильно заряженных частиц в растворах электролитов // ЖЭТФ – 1941. – Т.11, № 2 – С. 802–821.
- 2 Дерягин Б.В. Теория устойчивости коллоидов и тонких пленок. М.: Наука, 1986 – 206 с.
- 3 Дерягин Б.В., Чураев Н.В., Муллер В.М. Поверхностные силы. М.: Наука, 1985 – 400 с.
- 4 Derjaguin B.V., Churaev N.V. Inclusion of structural forces in the theory of stability of colloids and films // J. Colloid Interface Sci. – 1985 - Vol.103, № 2 – P.542–553.
- 5 Oshima H. J., Healy T.W., White L.R. Improvment on Hogg-Healy-Fuerstenau formulars for the interaction on dissimilar double layers // Colloid. Interface Sci. 1982 –Vol. 9, № 2 – P.484–493.
- 6 Casimir H., Polder D. The influence of retardation of the London-van-der-Waals // Phys. Rev. – 1948 –Vol. 73, № 4 –P.360.
- 7 Schenkel J.H., and Kitchener J.A. A test of the Derjaguin- Vervey-Overbeek theory with a colloid suspensions // J.Chem. Soc. Faraday Trans. – 1960 – Vol.56, № 1 – P.161–163.
- 8 Чураев Н.В. Поверхностные силы и физикохимия поверхностных явлений // Успехи химии – 2004 – Т. 73, В. 1 – С. 26–38

Н. А.Новикова, Е.В.Голикова, Ю.М.Чернобережский

### NaCl ерітінділерінде монодисперсті кремнезем золінің тұрақтылығына бөлшектердің әрекеттесуі энергиясының құрылымдық компоненттерінің ролі

Ағынды ультрамикроскопиялық әдісімен сулы NaCl ерітінділерінде pH 2.0; 3.0; 6.2; 9.0 және 10.2 мәндерінде монодисперсті (өлшемдері 250 нм) кремнезем золінің агрегаттану кинетикасы зерттелінген. Монодисперсті кремнезем золінің бөлшектерінде NaCl ерітінділерінде ( $C \geq 0.05$  M) баяу коагуляция жүреді, үткені бөлшектердің арасында ұлken қашықтықтарда ( $>10$  нм) дисперсионды тартылыс құштерінің құрылыштық тебілу күштерінен басым болған жағдайда пайда болатын алыстаған потенциалдық минимумда өтеді.

**Кілттік сөздер:** агрегациялау кинетикасы, қайтымыды агрегация, ағындық ультрамикроскопия, кремнеземнің монодисперсті золі.

### E.V. Golikova, N.A.Novikova, Yu.M.Chernoberezhskii The study of aggregate stability of monodisperse silica sol in NaCl solutions

By flow ultramicroscopy method the kinetics of aggregation of monodisperse silica sol (with a size 250 nanometers) in aqueous solutions NaCl at pH 6.2, 9.0 and 10.2 has been investigated. It was established that slow coagulation of sol SiO<sub>2</sub> proceeds on barrierless mechanism in the distant potential minimum resulting from predominance of structural forces of repulsion on dispersion forces of an attraction.

**Keywords:** kinetics of aggregation, reversible aggregation, flow ultramicroscopy, monodisperse silica sol.

УДК 546.722:546.271

<sup>1</sup>\*Г.К.Алимбекова, <sup>1</sup> С.Б.Айдарова, <sup>2</sup> С.Ш.Кумаргалиева, <sup>2</sup> К.Б.Мусабеков, <sup>3</sup>И.Декани, <sup>2</sup>М.О.Исаев

<sup>1</sup>Международный институт послевузовского образования “Excellence PolyTech”, Казахстан,  
г. Алматы

<sup>1</sup>Казахский национальный технический университет имени К.И.Сатпаева, Казахстан, г. Алматы

<sup>2</sup> Казахский национальный университет им. аль-Фараби, Казахстан, г. Алматы

<sup>3</sup>Сегедский университет, Венгрия, г. Сегед  
E-mail: \*gulnur.alimbekova@gmail.com

## Тонкие пленки на основе магнитных наночастиц

В данной работе методом послойной сборки (LBL) подготовлены наногибридные тонкие пленки на основе магнитных наночастиц. Исследована адсорбция тонких пленок из наногибридных структур на основе магнитных наночастиц и водного раствора поливинилового спирта. Получены оптические спектры абсорбции